

(Original Research Paper)

Puffed Snack Based on Whole Oleaster Powder and Navy Bean Powder, Evaluation of Structural and Functional Characteristics Affected by Extrusion Conditions

Samaneh Gazerani¹, Seyyed Ali Mortazavi¹, Elnaz Milani^{2*}, Amir Hosein Elhami Rad¹, Arash Koochaki³

1-Department of Food Science and Technology, Sabzevar Branch, Islamic Azad University, Sabzevar, Iran.

2-Department of Food Processing, Academic Center for Education Culture and Research (ACECR), Mashhad, Iran.

3- Department of Food Science and Technology, Faculty of Agriculture, Ferdowsi University of Mashhad, Mashhad, Iran.

Received:21/08/2022

Accepted:16/10/2022

DOI: [10.71810/jfst.2024.1004746](https://doi.org/10.71810/jfst.2024.1004746)

Abstract

The entry of legume flour in formulations of food products is increasing these days due to its health and nutritional properties. The whole oleaster flour /navy bean flour blends were extruded in a rotating twin-screw extruder. Processing parameters of feed including screw speed (150-250 rpm), moisture content (15-25%) and defatted whole oleaster flour / whole navy bean flour (20:80-50:50) were optimized for physical and textural properties of blend extrude samples. The experimental design was based on a combined design. Results indicated that; by overage screw speed, and feed moisture and reducing the level of whole oleaster powder, starch gelatinization improves and macro structural characteristics (porosity, hardness and expansion ratio), microstructural features (SEM), functional properties (water absorption, oil absorption index) indicated greater compliance; however a negative effect was observed on water solubility index. Also, the results of the electron microscope images showed that with the increase of whole oleaster powder/navy bean powder, the diameter of the holes in the extruded sample will decrease and the number of holes will increase, as a result, the hardness of the samples will increase. According to optimization results, in order to achieve a product with the characteristic of 3.25 expansion ratio, hardness of 8.92(N), water absorption index of 2.1, solubility in water index of 25.18, oil absorption index 0.5, and the overall acceptability of 4.62, production conditions were determined as follows: moisture content 20%, screw speed 200 (rpm) and whole oleaster powder/navy bean powder ratio 20-80.

Keywords: Extrusion, Whole Oleaster Flour, Navy Bean Flour, Puffed Snacks.

* Corresponding Author: e.milani@jdm.ac.ir

(مقاله پژوهشی)

میان وعده حجیم بر پایه آرد کامل سنجد و لوپیا ارزیابی ویژگی ساختاری و عملکردی متأثر از شرایط اکستروژن

سمانه گازرانی^۱، سید علی مرتضوی^۱، الناز میلانی^{۲*}، امیر حسین الهامی راد^۱، آرش کوچکی^۳

۱- گروه علوم و صنایع غذایی، واحد سبزوار، دانشگاه آزاد اسلامی، سبزوار، ایران.

۲- پژوهشکده علوم و فناوری مواد غذایی، جهاد دانشگاهی خراسان رضوی، مشهد، ایران.

۳- گروه علوم و صنایع غذایی، دانشکده کشاورزی، دانشگاه فردوسی مشهد، مشهد، ایران.

تاریخ پذیرش: ۱۴۰۱/۰۷/۲۴

تاریخ دریافت: ۱۴۰۱/۰۵/۳۰

DOI:[10.71810/jfst.2024.1004746](https://doi.org/10.71810/jfst.2024.1004746)

چکیده

ورود آرد حبوبات در فرمولاسیون فرآورده‌های غذایی به دلیل خواص سلامت بخش و تغذیه‌ای روز به روز در حال گسترش است. در این بررسی هدف بهینه سازی فرایند پخت اکستروژن و فرمولاسیون فرآورده بافت داده بر پایه سنجد و لوپیا است. آزمایش در قالب طرح ترکیبی و تحت شرایط سرعت چرخش مارپیچ ۱۵۰-۲۵۰ دور بر دقیقه، رطوبت ۱۵-۲۵ درصد و نسبت آرد سنجد-بلغور لوپیا ۵۰-۸۰:۵۰ انجام گردید. نتایج نشان داد؛ با افزایش سرعت چرخش مارپیچ، رطوبت متوسط و کاهش سطح آرد سنجد کامل، ژلاتینه‌شدن نشاسته بهبود یافته و ویژگی‌های ماکروساختار (تخلخل، سختی و ضربه انساط)، میکروساختار (تصاویر میکروسکوپ الکترونی سطح مقطع و پردازش تصویر) ویژگی عملگری (جدب آب و روغن) مطلوبیت بیشتری خواهد داشت، با این حال باعث کاهش میزان حلالیت در آب گردید. همچنین نتایج تصاویر میکروسکوپ الکترونی نشان‌دهنده این بود که با افزایش آرد سنجد-لوپیا از قطر حفرات نمونه اکستروژن شده کاسته خواهد شد و تعداد حفرات افزایش می‌یابد درنتیجه سختی نمونه‌ها بیشتر می‌گردد. مطابق نتایج بهینه سازی جهت دستیابی به فرآورده‌ای با دارابودن مقادیر بیشینه نسبت انساط شوندگی ۲۵/۳، اندیس جذب آب ۱/۲، اندیس جذب روغن ۲/۵ و میزان پذیرش کلی ۶۲/۴ و کمینه میزان سختی (N) ۹۲/۸، اندیس محلولیت در آب ۱۸/۲۵، شرایط بهینه فرآیند شامل رطوبت ۲۰ درصد، سرعت مارپیچ ۰۰۲۰ دور بر دقیقه و میزان آرد سنجد ۰۲ درصد تعیین گردید. بنابراین در صنعت تهیه اسنک میتوان از درصد سنجد ذکر شده نیز استفاده کرد.

واژه‌های کلیدی: آرد سنجد کامل، اکستروژن، آرد لوپیا و اسنک حجیم شده.

۱- مقدمه

در واقع جزء فرآیندهای^۳ HTST (دما بالا و زمان کوتاه) می‌باشد، این ویژگی در خصوص غذاهای مستعد فساد یک مزیت محسوب شده و زمان کوتاه اعمال حرارت باعث محدودیت در دناتوراسیون ناخواسته اجزای غذایی نظیر پروتئین‌ها، آمینواسیدها، ویتامین‌ها، نشاسته‌ها و آنزیم‌ها می‌گردد(۱۲,۵۳). تاکنون محققین بسیاری بررسی استفاده از فرآیند اکستروژن در تولید محصولات فراسودمند با ارزش تغذیه‌ای بالا و بهبود خواص کاربردی آن کار کرده اند و تمامی آن‌ها نشان دهنده این بودند که با استفاده از فرآیند اکستروژن خواص تغذیه‌ای و کاربردی محصول تولیدی افزایش می‌یابد. بررسی‌های محققین دیگر بررسی دانه خلر، سورگوم، کنجاله‌بنه، کنجاله‌بادام و سبوس گندم و نشاسته ذرت که همگی محصولاتی با فیر تقریباً بالای بودند نیز می‌بین این موضوع است (۱,۲,۴,۵,۴۶). بنا بر بررسی‌های انجام شده زمانی که از آرد حبوبات اصلاح شده با فرآیند اکستروژن استفاده می‌شود، خصوصیات عملکردی فرآورده کیک بدون گلوتن نظیر، قابلیت جذب آب، حلایت پذیری در آب، قطر و حجم فرآورده نهایی بالا می‌رود. از طرفی آرد لویا اصلاح شده در حین فرآیند اکسترود طعم لویایی خود را از دست داده و با نظر حسی برای مصرف کننده نیز قابل قبول می‌باشد(۵۱). همچنین فرآیند اکستروژن باعث بهبود میزان فیر محلول و کاهش میزان قندهایی نظیر رافینوز و استاکیوز می‌گردد (۱۵). از این رو می‌توان گفت از آن جایی که نان حاصل از آرد گندم یکی از وعده‌های اصلی غذایی مردم کشور ما می‌باشد و تنوع غذایی بخصوص نان برای بیماران سلیاکی و دیابتی در کشور ما کم است، استفاده توان از آرد لویا به همراه آرد اصلاح شده سنجد که در این بررسی مورد توجه قرار گرفت، میتواند منجر به تولید نان بدون گلوتنی گردد که، علاوه بر خواص تغذیه‌ای و کاربردی بالا، برای بیماران سلیاکی و دیابتی هم مناسب می‌باشد. همچنین با توجه به بررسی‌های انجام شده بررسی منابع میتوان دید که تاکنون بررسی بررسی استفاده از سنجد که یک گیاه بومی

کمبود مواد غذایی به خصوص مواد پروتئینی یکی از چالش‌های اصلی در بسیاری از کشورهای جهان به شمار می‌آید. حبوبات با داشتن محتوای پروتئینی به نسبت بالاتاً حدودی کمبود پروتئین حیوانی را جبران می‌کنند. با این حال حبوبات در بسیاری از مناطق دنیا به دلایلی از جمله زمان بر بودن پخت و هم چنین وجود ترکیبات ضد تغذیه‌ای و نفخ در آن‌ها کم تر مورد استفاده قرار می‌گیرند (۶,۱۱). این دسته از مواد غذایی دارای ترکیبات زیست فعال می‌باشد(۷) که دارای اثرات سلامتی بخش هستند، هم چنین دارای مقادیر بالایی از پروتئین، فیرهای رژیمی، کمپلکس‌های کربوهیدراتی و ایزوافلاکون ها نیز می‌باشد و مقادیر چربی و سدیم آن‌ها پایین است (۸). غلات که در سبد غذایی خانواده‌ها بیش از حبوبات مورد استفاده قرار می‌گیرند، از نظر اسیدهای آمینه ضروری به ویژه لیزین کمبود دارند، در حالی که پروتئین انواع حبوبات حاوی مقدار کافی از لیزین می‌باشد (۹) همچنین مصرف حبوبات منجر به کاهش ریسک ابتلا به بیماری‌های قلبی-عروقی، دیابت و سلطان‌های مربوط به دستگاه گوارش می‌شود (۱۰). سنجد^۱ میوه بومی ایران می‌باشد. مقادیر بالای مواد مغذی در آرد سنجد بیانگر آن است که، این ماده غذایی منبعی غنی از فیرهای رژیمی، عناصر معدنی کم مقدار و اسیدهای چرب ارگانیک است (۴۵). حلالیت آبی و ظرفیت جذب این آرد نیز چشمگیر می‌باشد. همچنین این آرد بر روی اثر امولسیون کنندگی آلبومین نیز تاثیر بسزایی دارد. بنابراین برای تولید فرآورده‌ای نظیر فرآورده لبني رژیمی، فراورده‌های غلات و قنادی و نوشیدنی‌ها مناسب است (۴۴). در حال حاضر استفاده از فرآیند اکستروژن در تولید غذاهای آماده مصرف جایگاه خاصی دارد چون ضمن اینکه این روش تولید دارای ظرفیت و توان بالای تولید است و از لحاظ اقتصادی مقرر به صرفه می‌باشد، محصول تولیدی حجمی شده دارای ویژگی آماده سازی سریع است (۱۴). اکستروژن

اندیس حلالیت در آب ، تصاویر میکروسکوپ الکترونی و پذیرش کلی میان و عده حجیم مورد ارزیابی قرار گرفت.

۲- مواد و روش ها

۲-۱- آماده سازی ماده اولیه

دانه لوبیا و سنجد کامل به طور جداگانه به وسیله آسیاب آزمایشگاهی مدل Polymix Px-MCF90D، آسیاب گردید. به منظور دانه بندی یکنواخت، هر دو آرد آسیاب شده، از الک با مش ۷۰٪ عبور داده شدند. برای اندازه گیری رطوبت، خاکستر، چربی، پروتئین، فیر، لوبیا و سنجد از روش استاندارد AOAC استفاده گردید (جدول ۱) (جدول ۱).

ایران است و لوبیا سفید انجام نشده است. این استفاده توام یک گیاه بومی ایران و غنی سازی آن با جبویات که امروزه بسیار مورد توجه است (۵۱) در اسنک ها و آرد نان های مصرفی می تواند به بهبود خواص تغذیه ای خوراک روزانه مصرف کنندگان کمک شایانی بنماید. بدین منظور در پژوهش حاضر، به کمک طرح ترکیبی اثر متغیر فرمولاسیون (سطوح مختلف نسبت آرد سنجد کامل به آرد لوبیا سفید) و متغیرهای فرایند شامل سطوح رطوبت خوراک ورودی و سرعت چرخش مارپیچ بر میزان ضریب انبساط، تخلخل، اندیس جذب آب، اندیس جذب روغن،

جدول ۱ ترکیبات شیمیابی مواد اولیه (آرد سنجد کامل و آرد لوبیا سفید) محصول بافت داده و حجیم (100g)

ترکیب ماده غذایی	فیبر	قند	رطوبت	خاکستر	کربوهیدرات	پروتئین	چربی
آرد سنجد کامل	۲۰/۳	۴۶/۵	۱۲/۸	۱/۴	۵۸/۴	۵/۶	۱/۵
آرد لوبیا سفید	۲۲/۴	۴/۱	۶/۲	۱/۲	۴۸/۷	۲۰/۳	۱/۲

نتایج میانگین سه تکرار می باشند.

۲-۲- آماده سازی فرمولاسیون خوراک اولیه

با استفاده از آزمایشات مقدماتی مقادیر کمینه و بیشینه برای هریک از ۳ متغیر (نسبت آرد سنجد : آرد لوبیا، سرعت چرخش مارپیچ و رطوبت خوراک (OF:BF))

جدول ۲- مقادیر بیشینه و کمینه متغیرهای فاز اول

متغیرها	مقادیر کمینه % (w/w)	مقادیر بیشینه % (w/w)	مقادیر کمینه % (w/w)
نسبت (OF:BF)	۵۰:۵۰	۲۰:۸۰	
سرعت چرخش مارپیچ (دور بر دقیقه)	۲۲۰	۱۲۰	
رطوبت (%)	۲۵	۱۵	

مدت ۲۰ دقیقه در سرعت ۷۰۰ دور بر دقیقه سانتریفیوژ گردید. پس از اتمام سانتریفیوژ مایع رویی به درون پلیت انتقال داده شد و ژل باقی مانده توزین و خصوصیت جذب آب به وسیله فرمول ۲ اندازه گیری گردید.

(فرمول ۲)

$$WAI = \frac{m_g}{ms}$$

m_g : وزن ژل باقی مانده (گرم)
 m_s : وزن نمونه (گرم)

برای اندازه گیری محلولیت در آب، مایع رویی را که پس از سانتریفیوژ به درون پلیت که وزن شده انتقال دادیم به درون آون هوای داغ برده شد تا بخار شده و مقدار ماده خشک باقی مانده را توزین شود. به وسیله فرمول ۳ محلولیت در آب محاسبه گردید.

(فرمول ۳)

$$WAI = \frac{mds}{ms} * 100$$

m_{ds} : وزن ماده خشک حاصل از آون گذاری مایع رویی
پس از سانتریفیوژ (گرم)
 m_s : وزن نمونه (گرم)

۷-۲- اندیس جذب روغن (OAI^۳)

۱۵ گرم محصول آرد شده را درون فالکون ۱۵ میلی لیتری که قبلا وزن شده انتقال داده و سپس ۳ میلی لیتر روغن ذرت تصفیه شده به آن اضافه گردید و به مدت ۱ دقیقه با ورتسکس آن را هم زده و ۳۰ دقیقه آن را به حال خود گذاشته و در ادامه به مدت ۲۰ دقیقه در سرعت ۷۰۰ سانتریفیوژ گردید. جذب روغن توسط فرمول ۴ محاسبه شد.

(فرمول ۴)

$$OAI = \frac{V_{oil}}{ms}$$

V_{oil} : حجم روغن جذب شده بر حسب میلی لیتر
 ms : وزن نمونه بر حسب گرم

در این پژوهش از اکسترودر دو مارپیچ با چرخش هم جهت استفاده شد. سپس با افزودن آب مقطر به ترکیب آرد لوبيا و سنجد رطوبت تنظیم گردید و برای کاهش کلوخه های تشکیل شده، پس از افزودن آب، آرد از الک عبور داده شد. متغیرهای فرآیند اکستروژن شامل سرعت چرخش مارپیچ، رطوبت و نسبت لوبيا به سنجد با درجه حرارت منطقه سوم پوسته اکسترودر (۱۰۰ درجه سانتیگراد) بود. سرعت ورود خوراک ثابت و برابر ۱۴/۵ کیلو گرم بر ساعت تعیین گردید. نمونه ها پس از خروج از اکسترودر در آون ۴۰ درجه سانتیگراد تا رسیدن به رطوبت ۶٪ خشک شدند.

۳-۲- ضریب انبساط

میزان انبساط از تقسیم قطر فراورده های حجیم شده به قطر روزنه خروجی اکسترودر تعیین گردید. از هر تیمار به صورت تصادفی ۱۰ نمونه انتخاب گردید و میانگین آنها گزارش شد.

۴-۲- دانسیته‌ی توده‌ای

دانسیته اسنک با روش جابجایی با دانه های ارزن طبق روش استاندارد AACC₂₀₀₀ انجام شد.

۵-۲- تخلخل

تخلخل به وسیله روش اوشی و همکاران (۳۶) مطابق فرمول زیر محاسبه گردید.

(فرمول ۱)

$$\text{Porosity} = \frac{\text{Bulk Volum - Apparent Volum}}{\text{Bulk Volum}}$$

۶-۲- اندیس جذب آب (WAI^۱) و محلولیت در آب (WSI^۱)

۱۵ گرم از محصول آرد شده درون لوله فالکون ۱۵ میلی لیتری که قبلا وزن شده ریخته شد. سپس ۵ میلی لیتر آب مقطر به آن اضافه شد و به مدت ۲ دقیقه با ورتسکس مدل Biosan MSV-3500 هم زده شدو در ادامه به

1- Water Absorption Index

2- Water Solubility Index

۸-۲- سختی

پس از انجام تنظیمات دستگاه تجزیه کننده بافت ۱ مدل AMETEK Lloyd, TA-Plus instruments (Ltd,USA) ، از هر تیمار ۱۰ عدد نمونه (از هر سه فاز آزمایش) به طور کاملاً تصادفی انتخاب شده و روی محل مربوطه قرار گرفتند. پس از فرو رفتن پر بوب استوانه ای دستگاه به قطر ۲ میلی متر و عمق نفوذ ۸ میلی متر به میزان عدد داده شده به دستگاه و رسم نمودار، نمونه از دستگاه جدا و نمونه ای بعدی گذاشته شد. نتیجه آزمون، میانگین ۱۰ تکرار بود و در نهایت ماکریسم نیروی وارد شده توسط دستگاه به عنوان میزان سختی اعلام گردید(۲۱).

۹-۲- تعیین و بیزگیهای ریزساختاری محصول

نمونه ها ابتدا توسط تیغ جراحی برداشته شده و سپس با استفاده از دستگاه پوشش دهنده توسط طلا-پالادیوم به مدت ۲۴۰ ثانیه در حالت سایه، پوشش دهی شدند . سپس نمونه ها توسط دستگاه میکروسکوپ الکترونی روبشی با وضوح ۲/۵ نانومتر و حداکثر ولتاژ ۳۵ کیلوولت در بزرگ نمایی های مختلف بررسی گردیدند (۳۵).

۱۰-۲- ارزیابی حسی

ارزیابی حسی به وسیله ۱۰ پانلیست انجام شد. خصوصیات حسی شامل رنگ، بافت، طعم، تردی و پذیرش کلی براساس مقیاس هدونیک ۵ نقطه ای مورد ارزیابی قرار گرفت. عدد ۱ به معنای عدم پسندیدن و عدد ۵ به معنای پسندیدن کامل است(۵).

۱۱- آنالیز و تحلیل آماری

در این پژوهش از روش سطح پاسخ (RSM) و طرح مرکب مرکزی چرخش پذیر جهت بررسی اثر متغیرهای آزمایش استفاده شد. آنالیز داده ها با استفاده از نرم افزار Design Expert 6.0.2 انجام شد متغیرهای مستقل شامل رطوبت ورودی ۲۵-۱۵٪، سرعت چرخش مارپیچ ۲۲۰-۱۲۰ دور بر دقیقه و درصد لوبيا به سنجید (۲۰-۸۰٪)، ۶۵-۳۵٪ بودند که در جدول ۳ آمده است. تعداد ۲۰ تیمار در این طرح مدد نظر قرار گرفت که از این بین شش تیمار شامل تکرار در نقطه مرکزی، به منظور تعیین خطای آزمایش انتخاب گردید.

جدول ۳-تیمارها و مقادیر متغیرهای مستقل فراینداکستروژن در فاز اول

تیمار	رطوبت خوراک اولیه(%)	سرعت چرخش مارپیچ (دور بر دقیقه)	آرد لوبیا / آرد سنجد (%)
۱	۵۰:۵۰	۱۵۰	۲۵
۲	۳۵:۶۵	۲۰۰	۲۰
۳	۲۰:۸۰	۱۵۰	۱۵
۴	۳۵:۶۵	۲۰۰	۱۵
۵	۳۵:۶۵	۲۰۰	۲۰
۶	۲۰:۸۰	۲۵۰	۱۵
۷	۲۰:۸۰	۲۵۰	۲۵
۸	۳۵:۶۵	۲۰۰	۲۵
۹	۳۵:۶۵	۲۵۰	۲۰
۱۰	۳۵:۶۵	۲۰۰	۲۰
۱۱	۵۰:۵۰	۲۵۰	۲۵
۱۲	۵۰:۵۰	۱۵۰	۱۵
۱۳	۳۵:۶۵	۱۵۰	۲۰
۱۴	۵۰:۵۰	۲۰۰	۲۰
۱۵	۲۰:۸۰	۱۵۰	۲۵
۱۶	۳۵:۶۵	۲۰۰	۲۰
۱۷	۳۵:۶۵	۲۰۰	۲۰
۱۸	۲۰:۸۰	۲۰۰	۲۰
۱۹	۳۵:۶۵	۲۰۰	۲۰
۲۰	۵۰:۵۰	۲۵۰	۱۵

یانگر عدم معنی داری آن بود. همان گونه که در شکل ۱ الف مشاهده می‌گردد، افزایش سطح آرد سنجد کامل (۲۰٪) منجر به کاهش چشمگیری در فاکتور ضربی انبساط می‌گردد. آرد کامل سنجد کامل محتوى فیبر و قند بالا می‌باشد (۴۵٪). افزایش میزان فیبر و قند معمولاً به منزله کاهش مقدار نشاسته، درصد ژلاتیناسیون و کاهش قابلیت تورم آن می‌باشد. فیبر نامحلول دارای خواص هیدروفیلیک است که باعث جذب بیشتر آب می‌شود از این رو موجب تغییر درجه حرارت انتقال شیشه‌ای در گذازه خواهد شد. فیبر نامحلول طی اتصال با حباب‌ها موجب ترکیدن و کاهش کشش پذیری سلول‌های هوایی می‌گردد (۳۶٪). این یافته‌ها با یافته‌های فیوضی و همکاران ۱۳۹۷ بر روی کنجاله بنه که نشان دادند با افزایش میزان نسبت

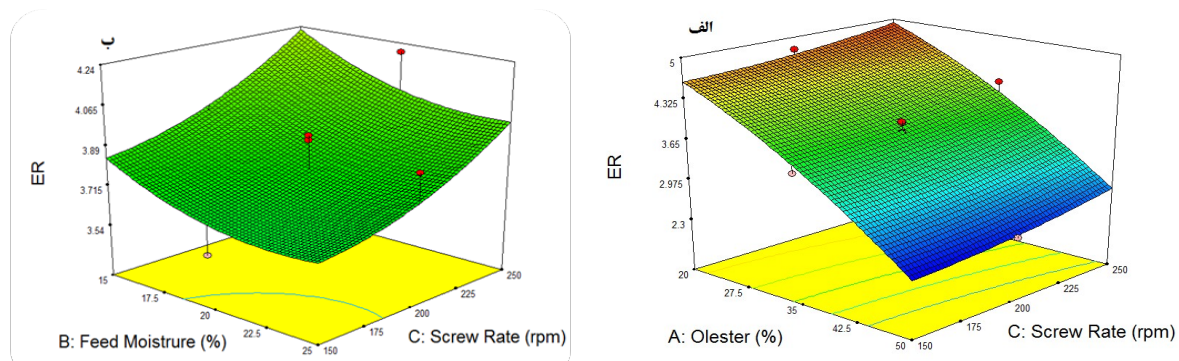
۳- نتایج و بحث

۱-۳- تأثیر پارامترهای فرآیند اکستروژن بر روی ضربی انبساط شوندگی

ضریب انبساط سطح مقطع عرضی فراورده‌های اکستروز شده را توصیف می‌نماید، ایجاد ساختار متخلخل و اسفنجی در هنگام خروج خمیر از دای به علت آزاد شدن یک باره بخار آب است. مدل منتخب توسط نرم افزار design expert مدل درجه دوم بود. ضربی انبساط اندازه‌گیری شده بین ۲/۴۳ تا ۵/۱ بود. همان طور که مشخص است عبارت‌های معنی دار مدل شامل آرد سنجد کامل، میزان رطوبت و سرعت چرخش مارپیچ و همچنین اثر متقابل آرد سنجد کامل و رطوبت و رطوبت و سرعت چرخش مارپیچ بودند ($P<0.05$). آزمون عدم قطعیت برازش مدل

پودر جو- آرد جو، آرد ذرت خرچنگ و آرد ماهی- آرد ذرت توسط محققین دیگر گزارش شده است (۸،۳۰،۳۷). همچنین کاهش رطوبت منجر به افزایش ضریب انبساط در محصول می‌شود. رطوبت موجود به عنوان روابط روانساز عمل کرده در نتیجه با افزایش رطوبت دمای خمیر کاهش می‌یابد و ویسکوزیته خمیر افزایش می‌یابد و مجموعه این عوامل به انجام ژلاتینه شدن بهتر نشاسته کمک می‌کنند، درنهایت محصول تولیدی ساختار متخلخل و بافت حجیم شده‌ای دارد (۱۷،۲،۴۸،۵۷).

کنجاله به دلیل افزایش فیبر کاهش ضریب انبساط رخ می‌دهد نیز، مطابقت دارد (۳). در شکل ۱ ب اثر هم زمان دو متغیر سرعت چرخش مارپیچ و میزان رطوبت بر ضریب انبساط نشان داده شده است. همانگونه که در شکل مشاهده می‌گردد سرعت چرخش مارپیچ و رطوبت اثر متضادی بر فاکتور نسبت انبساط شوندگی داشته‌اند. افزایش سرعت چرخش مارپیچ باعث افزایش تنفس برشی شده و کاهش ویسکوزیته و الاستیستیته خمیر را به دنبال دارد در نتیجه رشد حباب‌های هوا زیادتر شده که نهایتاً به افزایش انبساط فرآورده می‌انجامد. نتایج مشابه برای محصولاتی بر پایه



شکل ۱-نمودار سطح پاسخ "ضریب انبساط" تحت اثر متقابل (الف) سرعت چرخش مارپیچ و نسبت آرد سنجید کامل به آرد لوپیا
ب) سرعت چرخش مارپیچ و میزان رطوبت خوراک اولیه

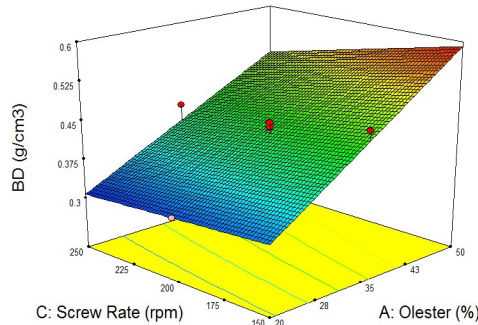
سنجد کامل و سرعت چرخش مارپیچ نمایش داده شده است. بر این اساس کاهش نسبت آرد کامل سنجید و افزایش سرعت چرخش مارپیچ اثر قابل توجهی بر کاهش دانسیته محصول داشت. طوری که کمترین دانسیته به نمونه حاوی ۲۰٪ آرد سنجید کامل و سرعت چرخش ۲۵۰ تعلق داشت. آرد سنجید کامل و آرد لوپیا حاوی فیبر بالا می‌باشد. فیبرهای نامحلول به دلیل اینکه خاصیت هیدروفیلی دارند آب زیادی جذب می‌کنند باعث کاهش الاستیستیته و کاهش ویسکوزیته خمیر می‌شوند (۴۸)، در ضمن فیبرها باعث پاره شدن دیوارهای سلولی حباب‌ها شده، در سیستم شکل‌گیری حباب‌ها نیز اختلال ایجاد می‌کنند (۳۶، ۵۸، ۶۰). در نتیجه ساختار محصول متراکم تر و دانسیته بالاتری داشت. گزارشات Potter, 2013 در تولید اسنک رژیمی ویژه کودکان با پودر میوه خشک شده و Dehghan-

۳-۲-۳-تاثیر پارامترهای فرآیند اکستروژن بر روی دانسیته توپ

دانسیته توپ دهنده افزایش حجم در تمامی ابعاد فراورده اکسترود شده می‌باشد، دانسیته توپ به ضریب انبساط رابطه معکوس دارد. در محصولات حجیم دانسیته پایین همراه با نسبت انبساط بالا از ویژگی‌های مطلوب می‌باشد (۳، ۶۱). مدل منتخب توسط نرم افزار expert design مدل چند جمله‌ای بود. میزان دانسیته محاسبه شده بین 0.291g/cm^3 تا 0.591g/cm^3 بود. همان طور که مشخص است عبارت‌های معنی‌دار مدل شامل نسبت آرد سنجد کامل به آرد لوپیا و سرعت چرخش مارپیچ و همچنین اثر متقابل آرد سنجید کامل به آرد لوپیا و سرعت چرخش مارپیچ بودند. آزمون عدم قطعیت برازش مدل یانگر عدم معنی‌داری آن بود. در شکل ۲ اثر متقابل آرد

۶۰). همچنین افزایش سرعت چرخش مارپیچ بر درجه پر بودن و زمان ماند گدازه در پوسته، تجزیه شبکه آمیلوپکتین در آرد لوبيا و تغییر ویژگی‌های رئولوژیکی گدازه تاثیرگذار است. از اينرو تاثير بسازايي بر الاستسييه و متعاقباً دانسيته و انبساط فرآورده دارد(۴۲).

Shoar, 2010 در مورد محصولات غني از فيبر بر پايه پودر گوجه فرنگي مويد اين قضيه است (۴۱، ۴۲). افزایش سرعت چرخش مارپیچ منجر به کاهش ويسبوزيته گدازه در حال اختلاط و افزایش الاستسييه خمير گردد که نهايata منجر به کاهش دانسيته فرآورده اکستروود می‌شود (۵۷، ۲۱).



شکل ۲- نمودار سطح پاسخ "دانسيته توده" تحت اثر متفاصل نسبت آرد سنجده کامل به آرد لوبيا و سرعت چرخش مارپیچ

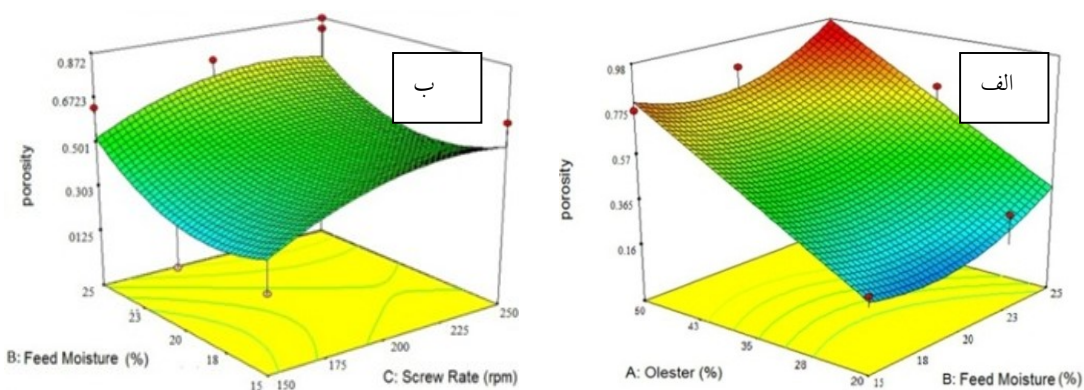
مي يابد. اين فرآيند باعث می‌گردد که ويسبوزيته افزایش يابد و کاهش رشد حباب را داشته باشيم(۳۹). هم چنین افزایش رطوبت باعث می‌شود که حضور آب در معرض دسترس افزایش يافته و در نتیجه باعث می‌شود که حباب کوچکتر و بيشتری شکل بگيرد و بافت محصول نيز متخلل تر گردد (۵). اين موضوع در بررسی محققين چون ياكچي و گوگز (۱۲/٪ تا ۱۸/٪)، ماجومدار و سينگ (۱۸/٪ تا ۲۱/٪) و ميلاني و همكاران (۱۴/٪ تا ۱۶/٪) مورد توجه قرار گرفت (۴، ۳۰، ۶۰). از سوي ديگر، با افزایش سرعت چرخش مارپیچ شاهد افزایش ميزان تخلخل هستيم. در تحقیقی که بر روی کتجاله بادام و بلغور ذرت نيز انجام شده بود محققين نشان دادند که افزایش سرعت چرخش هليس باعث افزایش تخلخل می‌گردد (۴). به طور كلی افزایش سرعت چرخش هليس به دليل شوك حرارتی و افزایش تنش برشی اعمال شده بر گدازه در حال اکستروود، سبب تاثير نامحسوس رطوبت بر تخلخل می‌گردد (۳۶). از آن جايي که افزایش سرعت چرخش هليس بيشتر از افزایش رطوبت می‌باشد، افزایش تخلخل هليس با اساس آن چه که در شکل می‌بینيم داريم. همچنین افزایش تخلخل با افزایش ميزان رطوبت توسط محققين چون مازومدار و سينگ (۲۰۱۴) (افزایش رطوبت ۱۸ تا ۲۲٪)

۳-۳- تأثير پارامترهای فرآيند اکستروژن بروی تخلخل

يکی از روش‌های پايش ساختار اسفنجي و توصيف ويژگی‌های انبساطي فراورده‌هاي حجم اندازه‌گيري تخلخل اين فراورده‌ها می‌باشد (۵۶، ۵۷). انتخاب مدل بهينه پيشنهادي توسط نرم افاري design expert در جدول شماره ۵ نشان داده شده است ($p < 0.05$). بر اساس نتایج آناليز واريанс اين جدول همان طور که مشخص است عبارت‌های معنی دار مدل شامل ميزان آرد سنجده كامل ($p < 0.05$)، رطوبت و سرعت مارپیچ ($p < 0.01$) و همچنین اثر متفاصل‌های ميزان رطوبت - سرعت چرخش مارپیچ و ميزان آرد سنجده کامل به آرد لوبيا - رطوبت بودند ($p < 0.001$). از نظر آماري مدل خطی برای متغير فرمولاسيون و مدل درجه دوم برای متغير فرآيند معنی دار بود ($p < 0.05$) چنانچه مشاهده می‌شود آزمون عدم قطعیت برآزش مدل بيانگر عدم معنی داری آن بود. ميزان حداقل و حداکثر تخلخل بدست آمده در اين پژوهش بر اساس داده‌های آماري 0.06 و 0.976 می‌باشد. با توجه به شکل ۳ الف، افزایش رطوبت از ميزان تا 20% تا 25% تاثير معنا داري مثبتی بر تخلخل محصول اکستروود دارد. اين به اين دليل است که، دمای خمير با افزایش رطوبت به يك باره کاهش

به این دلیل حاصل می شود که، افزایش یافتن میزان فیر به دلیل داشتن خاصیت هیدروفوپی قوی ایجاد مانع جهت ژلاتینه شدن نشاسته و همچنین تشکیل دیواره مناسب برای سلولهای هوایی و گسترش سلولهای هوایی می نماید و با افزایش آرد سنجید از میزان آرد لوپیا موجود در نمونه ها کاسته شده و درنهایت از میزان فیر نهایی نیز کاسته خواهد شد (۳۶، ۳۴، ۵۸).

و پانکیاما و همکاران ۲۰۱۴ (افزایش رطوبت ۱۲ تا ۱۸٪) و هاشمی و همکاران (افزایش رطوبت از ۱۲ تا ۱۶٪) گزارش شده است (۴، ۳۰، ۴۰). و هاشمی و همکاران (افزایش رطوبت از ۱۲ تا ۱۶٪) گزارش شده است (۴، ۳۰، ۴۰). همانگونه که در شکل ۳ ب، مشاهده می گردد، افزایش میزان آرد سنجید شده بر تخلخل نمونه های اکسترود شده اثر مثبت دارد. طوری که در سطوح بالای میزان آرد سنجید کامل (۵۰٪) شاهد بیشترین میزان تخلخل بودیم. این پدیده



شکل ۳- نمودار سطح پاسخ "تخلخل" تحت اثر متقابل (الف) سرعت چرخش مارپیچ و میزان رطوبت خوراک اولیه (ب) میزان رطوبت خوراک اولیه و آرد سنجید کامل به آرد لوپیا

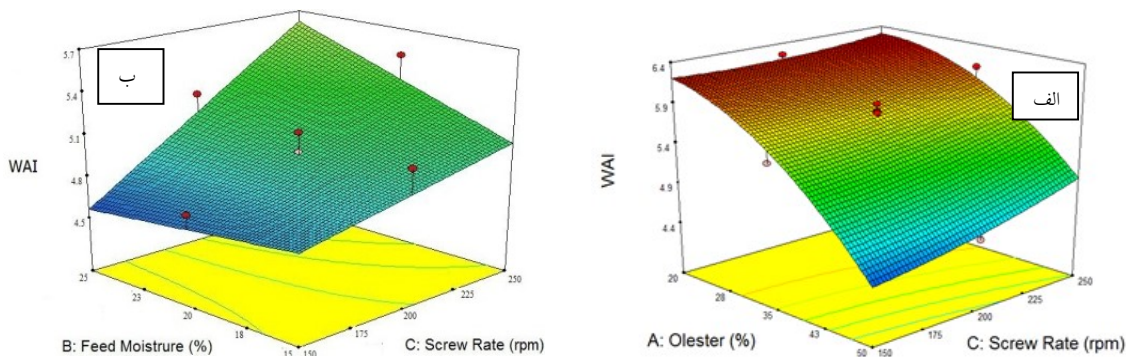
۴-۳- قاتیور پارامترهای فرآیند اکستروژن بر روی شاخص جذب آب

شاخص جذب آب^۱ میزان آب جذب شده توسط نشاسته بعد از متورم شدن را نشان می دهد که برابر با وزن ژل تشکیل شده است (۵۳). این فاکتور نه تنها شاخصی از ژلاتینزیاسیون نشاسته است بلکه نشان دهنده نسبت مولکولهای آسیب ندیده ای است در طی اکستروژن قابلیت جذب آب را حفظ نموده اند (۲۶، ۴۷). میزان شاخص جذب آب WAI بستگی به گروههای هیدروفیل در دسترس و ظرفیت تشکیل ژل توسط ماکرومولکولها دارد (۳۳، ۵۴). مدل بهینه پیشنهادی که توسط نرم افزار design expert منتخب گردید در جدول شماره ۵ نشان داده شده است. (۰/۰۵< p <۰/۰۵) همانطور که مشخص است

از آن جایی که نشاسته مسئول ایجاد بافت با ساختار اسفنجی است و در محصول حاصل از آرد لوپیا کامل و آرد سنجید کامل با کاهش نشاسته روپرتو هستیم در نتیجه با این کاهش غلظت از میزان تخلخل کاسته می شود. از طرف دیگر در این محصولات افزایش فیر وجود دارد که به دلیل خاصیت هیدروفیپی قوی که دارد مانع ژلاتینه شدن نشاسته می گردد و لذا تشکیل دیواره مناسب برای سلولهای هوایی و گسترش سلولهای هوایی با مشکل روپرتو می شود. این یافته ها با آن چه که محققینی نظری یا گچی و گوگل در مورد پودر بادام زمینی چربی گیری شده و توشه و همکاران در محصول اکسترود شده حاوی سپوره سیب و میلانی و همکاران در مورد محصول حاوی کنجاله بادام به دست آوردهند مطابقت دارد (۴، ۳۶، ۴۰).

کاهش محتوای نشاسته اندیس جذب آب کاهش یافته است (۶۰). مشابه این یافته‌ها توسط الکان و همکاران ۲۰۰۸ و سینگ و همکاران ۲۰۰۷ در محصولات اکسترود شده بر پایه جو-گوجه فرنگی و سبز زمینی نیز ارائه گردیده است (۷، ۵۳). همان طور که در شکل ۴ ب مشاهده می‌گردد با افزایش سرعت چرخش مارپیچ میزان جذب آب افزایش می‌یابد. افزایش سرعت چرخش مارپیچ موجب افزایش میزان ژلاتینزیون فرآیند تبدیل نشاسته خام به ترکیبی پخته و قابل هضم، با استفاده از آب و حرارت می‌باشد و یکی از مهم ترین تغییرات ایجاد شده طی فرآیند اکستروژن بر اجزای نشاسته‌ای می‌باشد (۵۳). به دلیل این که سرعت چرخش مارپیچ بر میزان ژلاتینه شدن نشاسته اثرگذار است لذا روی میزان شاخص جذب آب نیز موثر می‌باشدند. هرچه زنجیره پلیمرهای نشاسته سالم‌تر، گروه‌های هیدروفیل در دسترس بیشتر، امکان ایجاد اتصالات با آب بیشتر و در نتیجه مقادیر شاخص جذب آب بالاتر می‌گردد (۴، ۲۳، ۵۴). این نتایج منطبق بر نتایج Gat at al., 2015 در مورد فراورده اسنک تهیه شده از برنج پیش ژلاتینه شده و در زمینه تولید اسنک بر پایه آرد کامل سبز زمینی شیرین است (۵۹، ۲۲).

عبارت‌های معنی‌دار مدل شامل آردسنجد کامل ($p < 0.001$) سرعت چرخش مارپیچ و همچنین اثر متقابل آرد سنجد کامل و سرعت چرخش مارپیچ بودند ($p < 0.01$). آزمون عدم قطعیت برآنش مدل بیانگر عدم معنی‌داری آن بود. در شکل ۴ الف اثر همزمان دو متغیر آرد سنجد کامل و آرد لوبیا و سرعت چرخش مارپیچ بر شاخص جذب آب نشان داده شده است. اندیس جذب آب با افزایش میزان آرد سنجد کامل کاهش می‌یابد، طوری که شاهد کمینه میزان این شاخص در نمونه‌های محتوی 50% آرد سنجد کامل بودیم. این پدیده به دلیل پایین بودن میزان آرد لوبیا در نمونه 50% و در نتیجه کاهش غلظت نشاسته و پروتئین می‌باشد. فرآیند اکستروژن باعث کاهش ژلاتینزیون نشاسته و افزایش فرآکسیون‌های محلول در آب می‌گردد که درنهایت سبب کاهش جذب آب می‌شود. لذا با افزایش آرد سنجد کامل نسبت به آرد لوبیا و کاهش میزان نشاسته و پروتئین جذب آب افزایش می‌یابد. اندیس جذب آب به نوع ماده به کار رفته در فرمولاسیون و تغییرات مواد مانند دناتوره شدن پروتئین‌های در طی اکستروژن بستگی دارد (۶۲، ۴۷). براساس گزارش یاگچی و گوگوج ۲۰۱۴ با افزایش میزان پودر بادام زمینی چربی‌گیری شده به دلیل

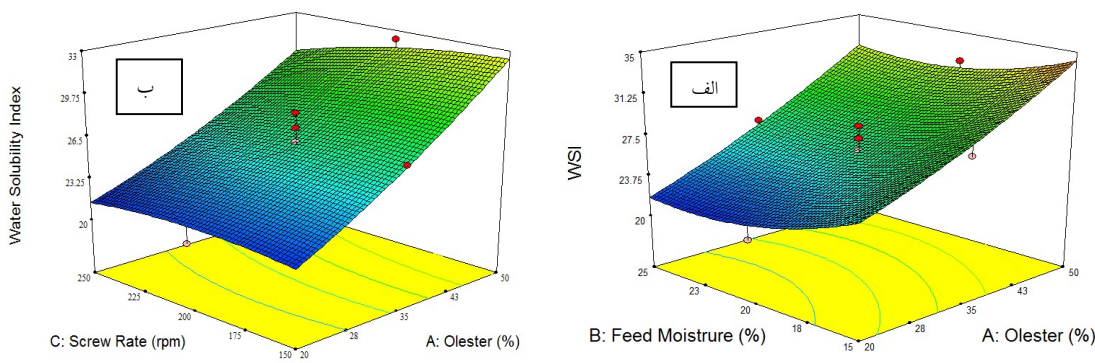


شکل ۴- نمودار سطح پاسخ "شاخص جذب آب" تحت اثر متقابل الف) نسبت آرد سنجد کامل به آرد لوبیا و سرعت چرخش مارپیچ ب) سرعت چرخش هلیس و رطوبت خوراک اولیه

۳-۵- تأثیر پارامترهای فرآیند اکستروژن بر روی شاخص محلولیت در آب

پلاستی سایزدر در طول پخت اکستروژن عمل کرده و رطوبتیلا، از توسعه و پخش انرژی مخصوص مکانیکی جلوگیری نموده، احتمالاً آسیب و شکستن زنجیره های نشاسته را کاهش می دهد. در نتجه رطوبت بر روی ساختار بیوپلیمر نشاسته حالت محافظتی اعمال می نماید. این نتایج مشابه نتایج گات و همکاران ۲۰۱۵ در مورد فراورده اسنک تهیه شده از برنج پیش ژلاتینه شده و شارما و همکاران ۲۰۱۷ در مورد فراورده حجمیم شده با فرمول لوپیای مانگ و برنج است (۴۹، ۲۲). در شکل ۵ ب اثر هم زمان دو متغیر نسبت آرد سنجید کامل به آرد لوپیا و سرعت چرخش مارپیچ بر شاخص محلولیت در آب نشان داده است. همان گونه که در این شکل نمایان است افزایش آرد سنجید کامل باعث افزایش میزان محلولیت در آب می گردد. یکی از دلایل افزایش اندیس WSI در فرآوردهای اکسترود با سطح ۵۰٪ آرد سنجید کامل به وجود پایین تر نشاسته و پروتئین نسبت به آرد لوپیا وجود میزان بالاتر فیبر و به خصوص قند در آنها مربوط است (۴۵). هرچند حضور فیبر باعث از هم گسیختگی ساختمان پیوسته گدازه در اکسترودر شده و در از تجزیه ترکیبات ماکرونولکولی جلوگیری می کند (۳۲). ولیکن حضور ترکیباتی محلولی چون قندهای ساده امکان افزایش حلالیت در آب به شدت افزایش می یابد. این یافته ها مشابه نتایج محصولات حجمیم بر پایه ضایعات سیب-آرد سورگوم و آرد ذرت بود (۲۹).

شاخص محلولیت^۱ در آب نشان دهنده تخریب ملکول نشاسته است و میزان پلیساکارید محلول آزاد شده از ترکیبات نشاسته ای پس از اکستروژن را بیان می کند (۲۰، ۳۰). مدل بهینه درجه دوم توسط نرم افزار design expert منتخب گردید و در جدول شماره ۵ نشان داده شده است. میزان شاخص محلولیت در آب اندازه گیری شده بین ۲۰/۷ تا ۳۶/۳۶ بود. همان طور که مشخص است عبارت های معنی دار مدل شامل نسبت آرد سنجید کامل و آرد لوپیا(۰/۰۰۱p)، میزان رطوبت(۰/۰۱p) و همچنین اثر متقابل آرد سنجید کامل و رطوبت و آرد سنجید کامل و سرعت چرخش مارپیچ بودند(۰/۰۵p). آزمون عدم قطعیت برآذش مدل بیانگر عدم معنی داری آن بود. در شکل ۵ الف اثر همزمان دو متغیر نسبت آرد سنجید کامل و میزان رطوبت خوراک اولیه بر شاخص محلولیت در آب نشان داده شده است. بر اساس این شکل افزایش میزان رطوبت سبب کاهش معنی داری در شاخص محلولیت در آب شد، طوری که بیشینه این شاخص(۳۶/۳۶) به نمونه هایی با میزان آرد سنجید کامل ۵۰٪ و رطوبت ۱۵٪ مربوط است. با توجه به این که افزایش اندیس WSI مربوط به فروپاشی گرانول های نشاسته و آزاد شدن ترکیبات با وزن مولکولی پایین در گدازه است، لذا افزایش حلالیت به شدت و نوع واکنش های تخریبی نشاسته که در طی اکسترود کردن ایجاد می گردد بستگی دارد(۵۵). آب به عنوان عامل



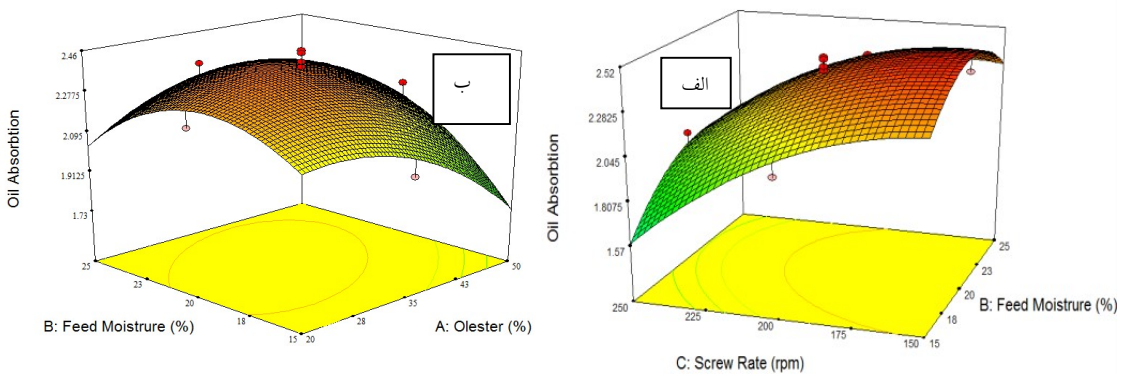
شکل ۵- نمودار سطح پاسخ "شاخص محلولیت آب" تحت اثر متقابل الف) نسبت آرد سنجد کامل به آرد لوبیا و رطوبت ب)
نسبت آرد سنجد کامل به آرد لوبیا و سرعت چرخش مارپیچ

آزمون عدم قطعیت برآورده مدل یانگر عدم معنی‌داری آن بود. میزان شاخص جذب روغن محصول اکسترود شده بین ۱/۰۰۸ تا ۲/۳۹ تعیین شد. میزان شاخص جذب روغن محصول اکسترود شده بین ۱/۰۰۸ تا ۲/۳۹ تعیین شد. بر اساس شکل ۶ الف، افزایش میزان رطوبت خوراک اولیه در سرعت چرخش مارپیچ پایین (دور بر دقیقه ۱۵۰) اثر چشمگیری بر شاخص جذب روغن داشته و لیکن در سرعت چرخش بالا ضمن افزایش رطوبت شاخص جذب روغن کاهش چشمگیری می‌یابد. پیامد مذکور نشان دهنده اثر بیشتر و تاثیرگذارتر اثر متقابل سرعت چرخش مارپیچ در شدت تغییرات جذب روغن در مقایسه با اثر رطوبت می‌باشد (۱۶). همچنین شاهد افزایش اندیس جذب روغن در محصول اکسترود شده بر پایه دانه کتان چربی‌گیری شده با کاهش سرعت چرخش مارپیچ از ۳۰۰ به ۵۰۰ دور بر دقیقه در رطوبت ۱۴٪ هستیم، و یافته‌هایی منطقی بر این نتایج توسط لازو و کروکیدا (۲۰۰۵)، جینگ و چای (۲۰۱۳) نیز منتشر شده است (۱،۲۵،۲۶). ترکیبات مواد غذایی از جمله نشاسته، فیبر و پروتئین رفتارهای متفاوتی در توانایی جذب چربی دارند و لیکن در این زمینه نیز نظرات محققین متفاوت است.

۳-۶- تأثیر پارامترهای فرآیند اکستروژن بر روی شاخص

جذب روغن

به طور کلی، شاخص جذب روغن^۱ نشان دهنده میزان چربی جذب شده به وسیله ماتریکس ماده غذایی است (۳۵، ۴۷) و در واقع شاخصی از ماهیت هیدروفوییک فرآورده اکسترود می‌باشد (۲۶)، و بیان کننده توانایی یک ترکیب در به دام انداختن روغن است این ویژگی از یک طرف سبب بهبود طعم و افزایش احساس دهانی ماده غذایی می‌گردد و از طرف دیگر فاکتور مهمی جهت نوآوری و تولید محصولات نانوایی و پخت است. انتخاب مدل بهینه پیشنهادی (مدل چندجمله‌ای درجه ۲) توسط نرم افزار design expert در جدول شماره ۵ نشان داده شده است. چنان که برای شاخص جذب روغن مدل خطی برای متغیر فرایند و مدل برای متغیر فرمولاسیون چند جمله‌ای درجه دوم از نظر آماری معنی‌دار بود. همان‌طور که مشخص است عبارت‌های معنی‌دار مدل نیز شامل میزان نسبت آرد سنجد کامل به آرد لوبیا، میزان رطوبت خوراک اولیه ($p < 0.05$)، سرعت چرخش مارپیچ ($p < 0.001$) و اثر متقابل نسبت رطوبت و سرعت چرخش مارپیچ ($p < 0.001$) و همچنین اثر متقابل میزان رطوبت و میزان نسبت آرد سنجد کامل به آرد لوبیا بودند ($p < 0.05$). چنانچه مشاهده می‌شود



شکل ۶- نمودار سطح پاسخ "میزان جذب روغن" تحت اثر متقابل (الف) سرعت چرخش مارپیچ و میزان رطوبت خوراک اولیه (ب)
میزان رطوبت خوراک اولیه و آرد سنجید کامل به آرد لوپیا

آنالیز واریانس در جدول شماره ۵ نشان داده شده است. میزان سختی بافت اندازه گیری شده بین $N_{11/92}$ تا $N_{25/19}$ بود. همان طور که مشخص است عبارت های معنی دار مدل شامل آرد سنجید کامل، میزان رطوبت ($p < 0.001$) و سرعت چرخش مارپیچ و همچنین اثر متقابل آرد سنجید کامل و رطوبت و رطوبت و سرعت چرخش مارپیچ بودند ($p < 0.05$). آزمون عدم قطعیت برازش مدل بیانگر عدم معنی داری آن بود. همانگونه که در شکل ۷ الف، مشاهده می شود با افزایش آرد سنجید کامل و افزایش رطوبت سختی بافت نمونه ها افزایش می یابد. طوریکه در سطوح بالاتر آرد سنجید کامل با افزایش همزمان رطوبت سختی محصول به حد اکثر (حدود N_{24} می رسد. این به این دلیل است که با افزایش آرد سنجید کامل به میزان قابل توجهی میزان فیبر و قند افزوده می گردد. از سوی دیگر با افزایش سنجید از میزان لوپیا کاسته شده و درنتیجه به دلیل این که لوپیا دارای نشاسته و پروتئین بالایی است از میزان پروتئین و نشاسته محصول نهایی نیز کاسته خواهد شد. افزایش قند و فیبر و کاهش نشاسته موجود ضمن تغییر ویژگی های ویسکوالاستیک خمیر، باعث جذب آب شده و در تشکیل سلولهای هوایی اختلال ایجاد می نماید در نتیجه سلولهای هوایی با دیواره قطورتر تشکیل می شوند و بافت محصول سفت تر می گردد (۱۹). افزایش سختی در محصولات غنی از فیبر و قند مانند اسنک هایی برپایه پوره هویج- گل کلم (۶)، ابه (۳۸) و پودر میوه های مختلف (سیب، موز و توت

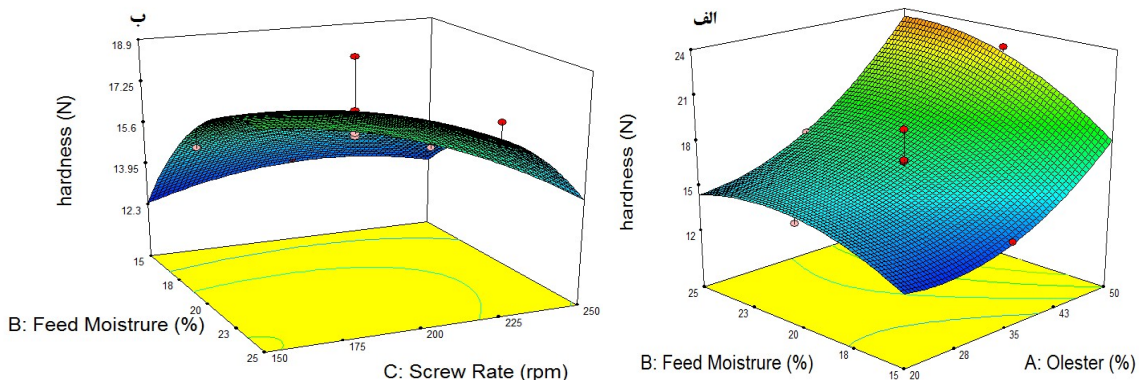
ظرفیت جذب چربی به وسیله پروتئین ها به وجود نقاط قطبی و غیر قطبی در ساختمان آن بستگی دارد لذا رفتار پروتئین ها در جذب چربی متفاوت می باشد، به عنوان مثال قدرت جذب روغن توسط کنسانتره پروتئین کتان از کنسانتره پروتئین آمارانت بیشتر است (۱۶). برخی از پژوهشگران بر این باورند که مکانیسم جذب چربی به صورت به دام انداختن فیزیکی روغن است (۵۱) و جذب چربی به وسیله پروتئین قطعی نمی باشد، لذا حضور پروتئین در فرآورده حجمیم شده باعث کاهش میزان جذب چربی می شود (۲۶، ۳۳، ۴۷). بر اساس یافته های مورسی و همکاران 2015 با افزایش میزان پروتئین میزان جذب چربی کاهش می یابد که علت آن را در تفاوت میزان پروتئین و اسیدهای آمینه قطبی و غیرقطبی دانستند (۳۳).

۷-۳- تأثیر پارامترهای فرآیند اکستروژن بر روی سختی بافت

سختی بافت نشان دهنده حد اکثر نیروی پربو جهت نفوذ یا سوراخ کردن محصول می باشد. سختی و تردی فرآورده های حجمیم نتیجه ادراک انسان از بافت محصول می باشد که مرتبط با انبساط، تخلخل و ساختار سلولی اسنک ها است (۳، ۵، ۵۵). سختی بافت فرآورده حجمیم علاوه بر صفات حسی با ویژگی هایی چون دانسیته، ضربی انبساط و تخلخل در ارتباط است (۳۱). مدل منتخب توسط نرم افزار design expert مدل چند جمله ای بود. نتایج

بهتری پیشافت کرده و گسترش می‌یابد، با افزایش رشد حباب‌ها محصول نرم‌تر با ضریب انبساط بالاتر و دانسیته پایین‌تر حاصل می‌شود (۲۷، ۲۸، ۵۳، ۲۱، ۲۷، ۱۸). بر اساس شکل ۷ کمینه مقدار سختی به نمونه تولیدی در سرعت چرخش ۲۵۰ دور بر دقیقه و رطوبت ۱۵٪ تعلق دارد. کاهش سختی به دلیل افزایش سرعت چرخش مارپیچ در محصولاتی بر پایه ذرت-عدس نیز گزارش شده است (۲۶). کوین بو و همکاران نیز گزارش دادند که افزایش سرعت چرخش مارپیچ به خصوص در دماهای بالای اکسترودر سبب کاهش مقدار دانسیته و متعاقباً کاهش سختی در نمونه‌های اسنک تولید شده بر پایه گندم می‌شود (۴۳). بر اساس نتایج حاصل از آزمون‌های دانسیته و انبساط شوندگی و ارتباط آن‌ها با سختی بافت محصول انتظار چنین روندی می‌رود که محصولی با دانسیته بالا و انبساط شوندگی کم، بافت سخت‌تری تولید کند.

فرنگی) (۴۰) به وسیله سایر محققین نیز گزارش شده است. نتایج حاصل از آنالیز آماری میان افزایش سختی با افزایش رطوبت است. با افزایش رطوبت و افزایش ویسکوزیته سلولهای هوایی ریزتری تشکیل شده بافت محصول سفت تر می‌گردد (۱، ۲). نتایج ارزیابی بافت محصول اکسترود شده بر پایه آرد برجخ و لوبیا قرمز نیز نشان دهنده افزایش سختی با افزایش رطوبت از ۱۵ تا ۲۳٪ بود (۲۴). همچنین بررسی‌هایی که بروی دانه خلر نیز انجام شده بود نشان‌دهنده این بود که با افزایش رطوبت و نیز سختی محصول نهایی افزایش می‌یابد (۶، ۱). شکل ۷ ب نشان داد که افزایش سرعت چرخش مارپیچ باعث کاهش سفتی بافت می‌گردد ($p < 0.05$). با افزایش سرعت چرخش مارپیچ و افزایش تنفس بر بشی، ویسکوزیته گدازه کاهش یافته و ژلاتینه شدن نشاسته کامل‌تر صورت گرفته که درنتیجه حباب‌های رشد یافته‌تری حاصل می‌شوند همچنین رشد و توزیع حباب‌ها داخل بافت گدازه خمیر باشد



شکل ۷-نمودار سطح پاسخ "سختی" تحت اثر متقابل (الف) میزان رطوبت خوراک اولیه و نسبت آرد لوبیا (ب) سرعت چرخش مارپیچ و میزان رطوبت خوراک اولیه

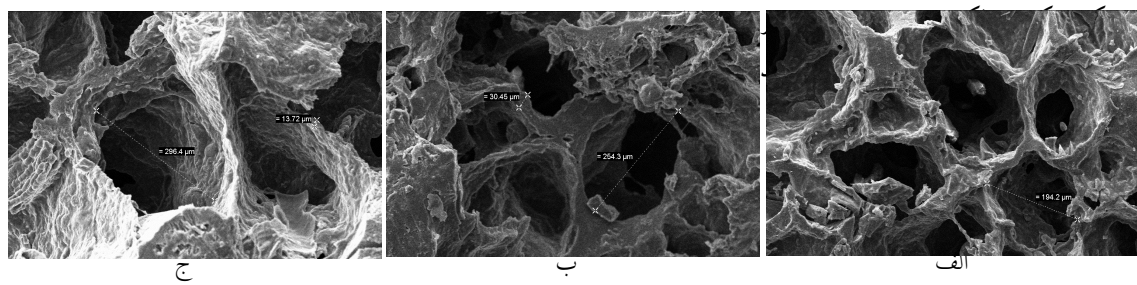
ضخامت دیواره آن‌ها نیز وجود دارد (۲۶، ۵۸). شکل ۸ اثر متغیر فرمولاسیون (نسبت آرد‌سنجد کامل و آرد لوبیا) و شکل ۹ اثر پارامترهای فرایند اکستروژن (سرعت چرخش مارپیچ و میزان رطوبت خوراک اولیه) را نشان می‌دهد. در شکل‌های مذکور، تصاویر سطح مقطع اسنک‌ها که با بزرگنمایی ۱۰۰ نمایش داده شده‌اند نشان دهنده قطر

(SEM) ۸-۳- تصاویر میکروسکوپ الکترون روبشی (SEM) بر اساس نتایج تحقیقات انجام شده رابطه معناداری بین پارامترهای بررسی شده در اندازه گیری میکروسکوپی بافت محصول حجمی شده مانند اندازه، تعداد و ضخامت دیواره سلولهای هوایی با خصوصیات فیزیکی (تخلخل و دانسیته) و سختی بافت وجود دارد. همچنین رابطه‌ای بین مدل‌های ارائه شده جهت تغییر شکل بافت با اندازه سلولهای هوایی،

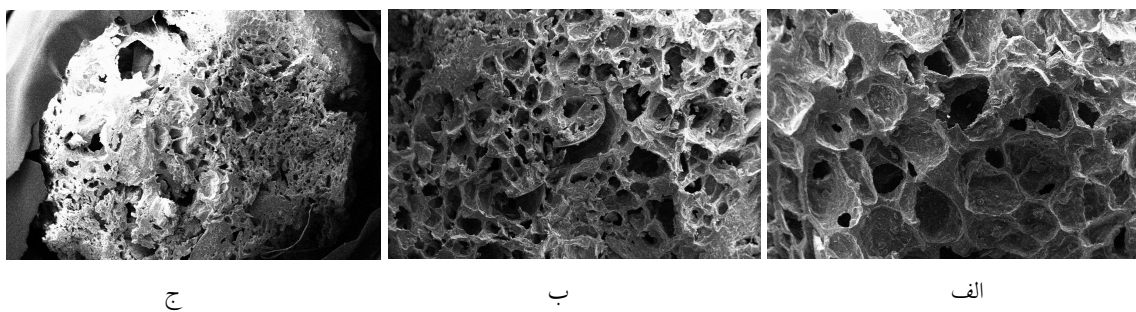
افزایش آرد بادام زمینی در فرمولاسیون سلول های ریز با تعداد بالا تولید می گردد. همانگونه که در شکل ۹ ملاحظه می شود در اثر تغییر سرعت چرخش ساختار میکروسکوپی اسنک ها دستخوش تغییرات زیادی قرار می گیرد. با افزایش سرعت چرخش ماربیچ در رطوبت ثابت و میزان سنجید ثابت از (۱۵۰ دور بر دقیقه) ۲۰۰ دور بر دقیقه (شکل ۹ الف و ب و ج) سلول های هوایی بزرگتر با دیواره سلولی نازک تر ملاحظه می شود که به علت ژلاتینیزاسیون بهتر نشاسته و رشد کافی حباب های هوای است به طوری که در نمونه های با سرعت چرخش ماربیچ ۲۵۰ دور بر دقیقه از تعداد سلولها کاسته شده و به قطر آنها افزوده می شود همچنین دیواره Choi & Phillips, 2004 سلول ها نازک تر خواهد بود.

نیز در محصول محتوی بادام زمینی با کاهش سرعت چرخش ماربیچ سلول های هوایی کوچک تر را مشاهده نمودند. آن ها بیان کردند زمانی که سرعت چرخش ماربیچ افزایش می یابد از ضخامت دیواره سلولی کاسته می شود و بر قطر آن افزوده می گردد. نتایج مشابه در محصول حاوی عدس (۲۶) و فراورده با فرمول مخلوطی از نشاسته ذرت و مغز پسته (۵) گزارش شده است. به طور کلی محصول تولید شده با سرعت چرخش ماربیچ دور بر دقیقه ۲۵۰ و رطوبت ۲۰٪ دارای سلول های هوایی کاملاً رشد یافته و بزرگ همراه با دیواره سلولی با ضخامت اندک هستند. که این شرایط مطلوب تولید محصول با بافت مناسب، دانسته اندک و ضریب ابساط بالا است.

سلول های هوایی و بزرگنمایی ۵۰۰ و نمایانگر ضخامت دیواره سلول های هوایی است. در تمام تصاویر ساختار متخلخل با بافت غیر یکنواخت و حفره دار مشاهده می گردد. بر اساس شکل ۸ الف، ب و ج با افزایش سطح آرد سنجید کامل در شرایط ثابت فرآیند سرعت چرخش ماربیچ (۲۰۰ دور بر دقیقه) و میزان ثابت رطوبت خوراک اولیه (۲۰٪) تعداد سلول های هوایی بیشتر با دیواره سلولی ضخیم تر و قطر کمتر مشاهده می گردد. به علت افزایش میزان فیبر در نمونه های حاوی ۳۵٪ آرد سنجید کامل و کاهش حجم نشاسته و پروتئین موجود در آرد لوبيا نقاط هسته زایی افزایش می یابد و در نتیجه تعداد حباب های هوایی زیاد می گردد به طوری که در سنجید ۵۰٪ حفرات خیلی ریز و کوچک می شوند و تعدادشان افزایش می یابد (۵۸). و لیکن حباب ها توانایی توسعه و افزایش حجم را ندارند. لذا قطر حباب ها کمتر و دیواره سلولی ظیخیم تر می شود. این نتایج منطبق بر تفاسیر حاصله از آزمون های دانسته، سختی بافت و ضریب ابساط نیز می باشد. افزایش ضخامت دیواره سلولی و کاهش قطر آن ها با افزایش سطح بادام زمینی در محصول اکسترود توسط چوی و فیلپس ۲۰۰۴ نیز بیان شده است. موارد مشابه توسط محققین دیگر چون لازو کروکیدا ۲۰۱۰ در محصول محتوی عدس، لاسیمتو ۲۰۱۲ و در اسنک حاوی کنجد گزارش شده است (۳۴، ۲۶). همچنین Choi & Philips 2004 اثر ترکیبات خوراک اولیه اکستروژن را بر روی ساختار سلولی با



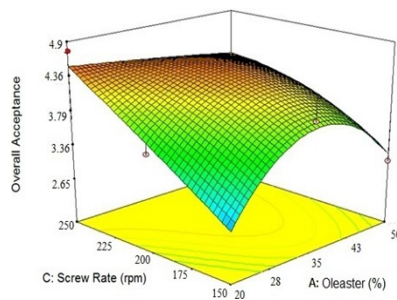
شکل ۸- بررسی ریز ساختار از سطح مقطع محصول بافت داده بر پایه آرد سنجید کامل و آرد لوبيا با استفاده از میکروسکوپ الکترون روبشی (بزرگنمایی ۱۰۰) در شرایط ثابت فرآیند: رطوبت ۲۰٪ و سرعت چرخش تحت دور بر دقیقه ۲۰۰ (الف) نسبت آرد سنجید کامل و آرد لوبيا (۸۰-۲۰) (ب) نسبت آرد سنجید کامل و آرد لوبيا (۶۵-۳۵) (ج) نسبت آرد سنجید کامل و آرد لوبيا



شکل ۹- بررسی ریز ساختار از سطح مقطع محصول بافت داده و حجم شده بر پایه آردسنجد کامل و آرد لویبا به نسبت ثابت (۲۰:۸۰) با استفاده از میکروسکوپ الکترون رو بشی (بزرگنمایی $500\text{ }\mu\text{m}$) (الف) شرایط فرایند 20% رطوبت و سرعت چرخش تحت دور بر دقیقه 150 (ب) شرایط فرایند 20% رطوبت و سرعت چرخش تحت دور بر دقیقه 200 (ج) شرایط فرایند 20% رطوبت و سرعت چرخش تحت دور بر دقیقه 250

میزان پذیرش کلی (امتیاز خوب) را در مقادیر متوسط پودر برگ پنیرک ($1\% / ۳\%$) که غنی از فیبر و پروتئین است گزارش نمود. به علاوه Nascimento et al., 2012 نیز حداکثر پذیرش کلی مصرف کننده‌ها را در نمونه اسنک غنی شده با 20% کنجاله کنجد گزارش نموده است (۳۴). همچنین در پژوهش Sacchetti et al., 2004 نیز بیشترین میزان پذیرش کلی توسط داوران حسی به اسنک با سطوح متوسط (30%) آرد نوعی بادام زمینی داده شده بود. یافته‌های این پژوهش حاکی از این است که اسنک حجمی شده به نسبت آرد سنجد کامل به آرد لویبا (۸۰ به 20) علاوه بر داشتن خصوصیات تغذیه‌ای مطلوب، دارای ویژگی‌های عملگری و بافتی (میکروساختار و ماکروساختار) مناسب مورد پذیرش مصرف کننده‌ها نیز می‌باشد.

۹-۳- تاثیر پارامترهای فرآیند اکستروژن بر روی پذیرش کلی
با افزایش 20% تا 35 میزان آرد سنجد کامل به آرد لویبا شاهد افزایش پذیرش کلی و در مقادیر بیش از 35% شاهد کاهش میزان پذیرش کلی بودیم، طوری که کمترین میزان پذیرش کلی در میزان 50% آرد سنجد کامل مشاهده گردید. چون میزان پذیرش کلی فاکتوری است که متأثر از تمامی عوامل ظاهری محصول شامل بافت، طعم، آroma و شکل ظاهری است. لذا در امتیاز دادن مقادیر پذیرش کلی مصرف کننده و ارزیابان مجموعه عوامل مختلف را مد نظر قرار می‌دهد (۱۹). بر اساس شکل ۱۰ از لحظه پذیرش کلی داوران حسی به نمونه تولید شده در سرعت چرخش 250 دور بر دقیقه و نسبت آرد سنجد کامل و آرد لویبا $20\% / 80$ حداقل امتیاز را دادند. Morsy et al., 2015 نیز بیشترین



شکل ۱۰- نمودار سطح پاسخ "ارزیابی حسی پذیرش کلی" تحت اثر متقابل سرعت چرخش مارپیچ و نسبت آرد سنجد کامل به آرد لویبا در میزان رطوبت ثابت

جدول (۴) قابل مشاهده است. بر این اساس نسبت نسبت آرد سنجید کامل به آرد لوپیا 20 ± 80 سرعت چرخش مارپیچ 200 دور بر دقیقه و میزان رطوبت خوراک ورودی 20% تعیین گردید.

۱۰-۳- بھینه یابی فرمولاسیون و فرایند اکستروژن در تولید فراورده حجمیم

نتایج بھینه جهت دستیابی به فراورده ای با ویژگی بیشینه جذب آب و سختی و ضریب انبساط شوندگی جذب روغن و پذیرش کلی و کمینه میزان محلولت در آب و سختی در

جدول ۴- نتایج بھینه یابی شرایط اکستروژن و فرمولاسیون

منبع	Porosity	Hardness	ER	BD	OAI	WSI	WAI
مدل معنی دار	۲FI	چندجمله ای درجه دوم	۲FI	چندجمله ای درجه دوم	چندجمله ای درجه دوم	۲FI	۲FI
F value	$<0.0001^{***}$	$<0.0001^{***}$	0.0004^{**}	$<0.0001^{***}$	$<0.0001^{***}$	$<0.0001^{***}$	$<0.0001^{***}$
A	$<0.0001^{***}$	$<0.0001^{***}$	$0.499*$	$<0.0001^{***}$	$<0.0001^{***}$	$<0.0001^{***}$	$<0.0001^{***}$
B	0.1577	0.0028^*	0.0419^*	0.0643	0.0328^*	$<0.0001^{***}$	0.023^{**}
C	0.0035^{**}	0.0863	$<0.0001^{***}$	$<0.0001^{***}$	0.0328^*	0.017^*	0.0010^{**}
AB	0.005932	0.0456^*	0.0029^{**}	0.0603	0.0783	0.0191^*	$<0.0001^{***}$
AC	0.00347^*	0.1657	0.1149	0.0170^*	0.0112^*	0.0135	$<0.0001^{***}$
BC	0.9796	0.4056	$<0.0001^{***}$	0.1538	0.0416	0.0071^{**}	0.0713
Lack of fit	0.347	0.4457	0.1265	0.2389	0.3813	0.8051	0.923
R^2	0.97	0.95	0.96	0.97	0.98	0.95	0.905
$R^2_{(adj)}$	0.95	0.91	0.93	0.96	0.97	0.92	0.84

جدول ۵- نتایج آنالیز واریانس (ANOVA) اثر متغیرهای مختلف مورد بررسی

مقادیر	شوندگی	انبساط	میزان سختی	اندیس جذب	محلویت در	اندیس جذب	میزان پذیوش کلی
$3/25$	$8/92N$	$2/1 \pm 0.36$	$25/18 \pm 0.18$	$5/2 \pm 0.03$	$4/62$		

*Significant at $P \leq 0.05$; ** significant at $P \leq 0.01$; *** significant at $P \leq 0.001$; ns, non-significant

است. در بین روش‌های تولید آرد های بهبود یافته با ارزش تغذیه ای افزوده شده تکنولوژی بخت اکسترون به دلیل اثرات مثبت بر قابلیت هضم و پروتئین و نشاسته و حذف ترکیبات ضدتغذیه ای نظیر قندهای نفح زا و بازدارنده های تریپسین در حبوبات و همچنین حداقل افت کیفیت تغذیه ای ، جهت تولید این محصول استفاده گردید. با توجه به

۴- نتیجه گیری با توجه به خصوصیات تغذیه ای مطلوب انواع گیاهان دارویی و حبوبات و کاربرد آن در فرمولاسیون غذاها تاثیر بسزایی در افزایش و بهبود سلامت مصرف کنندگان خواهد داشت. در دهه های اخیر پیشرفت قابل توجهی در تولید و معرفی غذاهای فراسودمند بر پایه این گیاهان حادث شده

۵- منابع

۱. فیوضی ب، وریدی م. ج، میلانی ا، شهیدی ف، خدادخداپرست م. بهینه سازی فرمولاسیون و شرایط فرایند اکستروژن محصول اسنک حجیم حاوی آرد کنجاله بنه. نشریه پژوهش و نوآوری در علوم و صنایع غذایی. ۱۳۹۷؛ (۷): ۴۸-۲۹.
۲. میلانی ا، هاشمی ن، مرتضوی س. ع، طباطبایی ف. بررسی اثر شرایط فرایند اکستروژن و فرمولاسیون بر برخی ویژگیهای فیزیکوشیمیایی میان وعده حجیم بر پایه کنجاله بادام (*Amygdalus communis* L.) و بلغور ذرت. فصلنامه فناوری‌های نوین غذایی. ۱۳۹۶؛ (۵): ۱۴۰-۱۲۳.
3. Alam M. S, Pathania S, Sharma A. Optimization of the extrusion process for development of high fibre soybean-rice ready-to-eat snacks using carrot pomace and cauliflower trimmings. *LWT - Food Science and Technology*. 2016; 74: 135-144.
4. Altan A, McCarthy K. L, Maskan M. Twin-screw extrusion of barley-grape pomace blends: Extrudate characteristics & determination of optimum processing conditions, *J. Food Eng.* 2008; 89: 24-32.
5. Altan A, Mc Carthy K. L, Maskan M. Effect of screw configuration & raw material on some properties of barley extrudates, *J. Food Eng.* 2009a: 92: 377-382.
6. Altan A, McCarthy K. L, Maskan M. Effect of extrusion process on antioxidant activity, total phenolics & betaglucan content of extrudates developed from barley-fruit & vegetable by-products. *International Journal of Food Science & Technology*. 2009b: 44: 1263-1271.
7. Altan, A. and Maskan, M. 2011. *Development of Extruded Foods by Utilizing Food Industry By-Products, In Advances in Food Extrusion*, (Editors: M. Maskan and A. Altan) CRC Press, New York, U. S. A., pp.121-228.
8. American Association of Cereal Chemists – AACC. 2000. *Approved Methods of Analysis: guidelines for measurement of volume by rapeseed displacement* (11th Ed.). St. Paul, MN: AACC International.
9. Anton A. A, Fulcher R. G, Arntfield S. D. Physical and nutritional impact of fortification of corn starch-based extruded snacks with مطالعات انجام شده تخلخل فراورده با افزایش رطوبت کاهش یافت و محصول بافتی متراکم به خود گرفت و سختی افزایش یافت. افزایش دما و سرعت چرخش مارپیچ منجر به کاهش میزان سختی فراورده شد. در این بین اثرگذاری سرعت چرخش مارپیچ بر کاهش سختی بیشتر از سایر متغیرها بود. پارامترهای مربوط به رنگ نیز با تغییر رطوبت، سرعت چرخش مارپیچ و دما تغییرات محسوسی از خود نشان دادند. آرد سنجد/لویبا با توجه به خصوصیات عملکردی مناسب می‌تواند به عنوان آردی مطلوب در فراوردهای نانوایی و صنایع پخت استفاده شود. فراوری آرد سنجد کامل و آرد لویبا سفید به کمک روش اکستروژن سبب بهبود خصوصیات فیزیکوشیمیایی و حسی آن شد. شاخص جذب روغن یکی از خصوصیات مهم آرد می‌باشد. میزان شاخص جذب روغن با افزایش سرعت چرخش مارپیچ و محتوای رطوبت کاهش یافت. در این بین بیشترین اثر مربوط به میزان رطوبت بود. آزمون حسی بخش بسیار مهمی برای تصمیم‌گیری در ارتباط با انتخاب میزان نسبت آرد سنجد کامل و آرد لویبا سفید، رطوبت ورودی و سرعت چرخش مارپیچ به منظور تولید محصول می‌باشد. به این دلیل که سلیقه مصرف کننده سهم بسیار مهمی در تولید محصول جدید دارد. فراورده اکستروژد شده حاصل از آرد سنجد کامل و آرد لویبا سفید امتیازات حسی مناسبی از سوی ارزیابان دریافت کرد، اما می‌توان با کنترل متغیرها محصول مناسب تری از نظر خصوصیات حسی تولید کرد. نتایج این تحقیق نشان داد که با استفاده از آرد سنجد کامل و آرد لویبا سفید (به نسبت ۸۰-۲۰) و با بکارگیری پخت اکستروژن (رطوبت خوراک اولیه ۲۰٪ و سرعت چرخش مارپیچ ۲۰۰ دور بر دقیقه) امکان تولید محصول بافت داده شده مهیا می‌گردد که این محصول تولیدی، ضمن داشتن ویژگی‌های ماکروساختار (تخلخل، سختی و ضریب انبساط) مناسب و دارای ویژگی عملکردی مطلوبی (جذب آب و جذب روغن) نیز می‌باشد. همچنین از نظر مصرف کننده نیز این محصول بالاترین امتیاز را از نظر پذیرش کلی دریافت نمود.

- properties of ready-to-eat expanded snacks. *J Food Sci Technol.* 2015; 52(5): 2634-2645.
- 20.Guha M, Ali S. Z, Bhattacharya S. Twin-screw extrusion of rice flour without a die: Effect of barrel temperature & screw speed on extrusion & extrudate characteristics. *Journal of Food Engineering.* 1997; 32 (3): 251-267.
- 21.Jain D, Devi M, Thakur N. Study on the effect of machine operative parameters on physical characteristics of rice/maize based fruit/vegetable pulp fortified extrudates. *Agricultural Engineering International: CIGR Journal.* 2013; 15: 231-242.
22. Jing Y, Chi Y. J. extrusion on soluble dietary fiber & physicochemical properties of soybean residue. *Food Chemistry.* 2013; 138: 884-889.
- 23.Lazou A, Krokida M. Functional properties of corn and corn-lentil extrude. *Food Research International.* 2010a; 43(2): 609-616.
- 24.Li SQ, Zhang H. Q, Jin Z. T, Hsieh Fh. Textural modification of soya bean/corn extrudates as affected by moisture content, screw speed & soya bean concentration International. *Journal of Food Science and Technology.* 2005; 40: 731-741.
- 25.Liu C, Zhang Y, Liu W, Wan J, Wang W, Wu L, and et al. Preparation, physicochemical & texture properties of texturized rice produce by Improved Extrusion Cooking Technology, *Journal of Cereal Science.* 2011; 54: 473-480.
- 26.Lohani U. C, Muthukumarappan K. Effect of Extrusion Processing Parameters on Antioxidant, Textural and Functional Properties of Hydrodynamic Cavitated Corn Flour, Sorghum Flour and Apple Pomace-Based Extrudates. *Journal of Food Process Engineering.* 2016; 40(3): 1-15.
- 27.Majumdar R. K, Singh R. K. R. The effect of extrusion conditions on the physicochemical properties & sensory characteristics of fish-based expend snacks. *Journal of Food Processing & Preservation.* 2014; 38: 864-879.
- 28.Meng X, Threinen D, Hansen M, Driedger D. Effects of extrusion conditions on system parameters & physical properties of chickpea flour-based snack. *Food Res. Intern.* 2010; 43: 650-658.
- 29.Moraru C. I, Kokini J. L. Nucleation & expansion during extrusion & microwave heating of cereal foods. common bean (*Phaseolus vulgaris* L.) flour: Effects of bean addition and extrusion cooking. *Food Chemistry.* 2009; 113: 989-996.
- 10.Association of Official Analytical Chemists – AOAC. 2006. *Official methods of analysis of AOAC International* (18th Ed.). Gaithersburg: AOAC International.
- 11.Bassinello P. Z, Freitas D, De G. C, Ascheri J. L. R, Takeiti C. Y, Carvalho R. N, Koakuzu S. N, Carvalho A. V. Characterization of cookies formulated with rice and black bean extruded flours. *Procedia Food Science.* 2012; 1: 1645-1652.
- 12.Berrioso D. J. O. P, Cámaras M, Sánchez-Mata M. C. Carbohydrate composition of raw and extruded pulse flours. *Food Research International.* 2010; 43(2): 531-536.
- 13.Bhise S, Kaur A, Manikantan M. R, Singh B. Optimization of extrusion process for production of texturized flaxseed defatted meal by response surface methodology, International. *Journal of Research in Engineering and Technology.* 2013; 2 (10): 302-310.
- 14.Camacho-Hernández I. L, Zazueta-Morales J. J, Gallegos-Infante J. A, Aguilar-Palazuelos E, Rocha-Guzmán N. E, Navarro-Cortez R . O, et al. Effect of extrusion conditions on physicochemical characteristics and anthocyanin content of blue corn third-generation snacks. *CyTA - Journal of Food.* 2014; 12(4): 320-330.
- 15.Chi I. D, Phillips R. D. Cellular structure of peanut-based extruded snack products using scanning electron microscopy. *J. Texture Studies.* 2004; 33: 353-370.
- 16.Dehghan-Shoar Z, Hardacre A. K, Breean C. S. The physico-chemical characteristics of extruded snacks enriched with tomato lycopene. *Food Chem.* 2010; 123(4): 1117-1122.
- 17.Ding Q. B, Ainsworth P, Tucker G, Marson H. The effect of extrusion conditions on the physicochemical conditions & sensory characteristics of rice-exp and snacks. *J. Food Eng.* 2005; 66: 283-289.
- 18.Ding Q. B, Ainsworth P, Plunkett A, Tucker G, Marson H. The effect of extrusion conditions on the functional and physical properties of wheat-based expanded snacks. *J. Food Eng.* 2006; 73: 142-148.
- 19.Gat Y, Ananthanarayan L. Effect of extrusion process parameters and pregelatinized rice flour on physicochemical

- Journal of food Engineering.* 2005;66(3): 283-289.
- 40.Qing-Bo D. A. P, Plunkett A, Tucker G, Marson H. The effect of extrusion conditions on the functional & physical properties of wheat-based snacks, *Journal of food engineering.* 2006; 73 (2): 142-148.
- 41.Sahan Y, Dulger D, Aydin E, Dundar A, Celik G. Food Additives: Oleaster Flour. *Journal of Agricultural science.* 2015; 5(2): 1052-1061.
- 42.Sahan Y, Gocmen D, Cansev A, Celik G, Aydin E, Dundar A. N, et Al. Chemical and techno-functional properties of flours from peeled and unpeeled oleaster (*Elaeagnus angustifolia* L.). *Journal of Applied Botany and Food Quality.* 2015; 88: 34-41.
- 43.Şahin N, Bilgiçli N, Sayaslan A. Enhancement of extruded corn snacks with substitution of wheat germ, invaluable milling by-product. *Journal of food processing and preservation.* 2022; 61(3): 1-11.
- 44.Salata C. D. C, Leonel M, Trombini F. R. M, Mischan M. M. Extrusion of blends of cassava leaves & cassava flour: physical characteristics of extrudates. *Food Sci. Technol. Campinas.* 2014; 34(3): 501-506.
- 45.Santosa B. A, Sudaryono S, Widowati S. Characteristics of extrudate from four varieties of corn with aquadest. *Indosinia journal of agriculture.* 2008; 1(2): 85-94.
- 46.Sarraf M, Mohamadi Sani A, Mehraban Sang Atash M. Physicochemical, organoleptic characteristics and image analysis of doughnut enriched with oleaster flour. *Journal of Food Processing and Preservation.* 2016; 41(4): 1-9.
- 47.Sharma C, Singh B, Hussain S Z, Sharma S. Investigation of process and product parameters for physicochemical properties of rice and mung bean (*Vigna radiata*) flour based extruded snacks. *J Food Sci Technol.* 2017; 54(6): 1711-1720.
- 48.Siddiq M, Ravi R, Harte J. B, Dolan K. D. Physical & functional characteristics of selected dry bean (*Phaseolus vulgaris* L) flours. *LWT - Food Science & Technology.* 2010; 43: 232-237.
- 49.Siddiq M, Kelkar S, Harte J. B, Dolan K. D, Nyombaire G. Functional properties of flour from low-temperature extruded navy and pinto beans (*Phaseolus vulgaris* L.). *LWT-Food Science and Technology.* 2013; 50(1): 215-219.
- ComprehensiveReviews in Food Science & Food Safety.* 2003; 2: 120-138.
- 30.Morsy N. E, Rayan A. M, Youssef K. M. Physico Chemical Properties, Antioxidant Activity, Phytochemicals & Sensory Evaluation of Rice-Based Extrudates Containing Dried *Corchorus olitorius* L. Leaves. *J. Food Process Technol.* 2015; 6: 408.
- 31.Nascimento E. M. G. C, Carvalho C. W. P, Takeiti C. Y, Freitas D. G. C, Ascheri J. L. R. Use of sesame oil cake (*Sesamum indicum* L.) on corn snacks extrudate. *Food Res. Int.* 2012; 45: 434-443.
- 32.Navam S. H, Tajudini A. L, Srinivas J. R, Sivaroban T, Kristofor R. B. Physio-Chemical & Sensory Properties of Protein-Fortified Extruded Breakfast Cereal/Snack Formulated to Combat Protein Malnutrition in Developing Countries. *J. Food Process Technol.* 2014; 5(8): 1-9.
- 33.O'Shea N, Arendt E. puffed snack by optimising die head temperature, screw speed and apple pomace inclusion. *Food Bioprocess Technol.* 7: 1767-1782.
- 34.Obatolu V. A, Skonberg D. I, Camire M. E, Dougherty M. P. Effect of Moisture Content and Screw Speed on the Physical Chemical Properties of an Extruded Crab-based Snack. *Food Sci Tech Int.* 2005; 11(2):121-127.
- 35.Orrego C. E, Salgado N, Giraldo G. I. Influence of the extrusion operating conditions on the antioxidant, hardness and color properties of extruded mango. *LWT - Food Science and Technology.* 2017; 86: 209-218.
- 36.Ozer E. A, Ibanoglu S, Ainsworth P, Cahide Y. Expansion characteristics of a nutritious extruded snack food using response surface methodology. *Eur. Food Res. Technol.* 2004; 218: 474-479.
- 37.Pankayamma V, Basu S, Suryapratha Bhadran S, Chouksey M. K, Gudipati V. Fish oil-fortified extruded snack: evaluation of physical properties & oxidative stability by response surface methodology. *Journal of Food Process Engineering.* 2014; 37: 349-361.
- 38.Potter R, Stojceska V, Plunkett A. The use of fruit powders in extruded snacks suitable for children's diets. *LWT-Food Sci Technol.* 2013; 51: 537-544.
- 39.Qing-Bo D. A. P, Tucker G, Marson H. The effect of extrusion conditions on the physicochemical properties & sensory characteristics of rice-based snacks.

- 55.Van der Sman R. G. M, Broeze J. Structuring of indirectly expanded snacks based on potato ingredients: A review. *J. Food Eng.* 2013; 114 (4) 413-425.
- 56.Waramboi JG, Gidley M J, Sopade P. A. Influence of extrusion on expansion, functional and digestibility properties of whole sweetpotato flour. *LWT - Food Science and Technology*. 2014;59: 1136-1145.
- 57.Yağcı S, Göğüş F. Response surface methodology for evaluation of physical & functional properties of extruded snack foods developed from food-by-products. *J. Food Eng.* 2008; 86: 122-132.
- 58.Yağcı, S., Göğüş F. 2011. Quality Control Parameters of Extrudates & Methods for Determination. In *Advances in Food Extrusion* (M. Maskan & A. Altan Eds). CRC Press, New York, U. S. A., pp. 297-326.
- 59.Yu C, Liu J, Tang X, Shen X, Liu S. Correlations between the physical properties and chemical bonds of extruded corn starch enriched with whey protein concentrate .*RSC Adv.* 2017; 7: 11979–1198.
- 50.Singh B, Sekhon K. S, Singh N. Effects of moisture, temperature & level of pea grits on extrusion behaviour & product characteristics of rice. *Food Chemistry*. 2007; 100: 198-202.
- 51.Singh R. K. R, Majumdar R. K, Venkateshwarlu G. Optimum extrusion-cooking conditions for improving physical properties of fish-cereal based snacks by response surface methodology. *J. Food Sci. Technol.* 2014; 51(9): 1827-1836.
- 52.Stojceska, V., Ainsworth, P., Plunkett, A., & İbanoğlu Ş. The advantage of using extrusion processing for increasing dietary fibre level in gluten-free products. *Food chemistry*. 2010; 121(1): 156-164.
- 53.Taverna L. G, Leonel M, Mischan M. M. Changes in physical properties of extruded sour cassava starch & quinoa flour blend snacks, *Ciênc. Tecnol. Aliment. Campinas*. 2012; 32(4): 826-834.
- 54.Thymi S, Krokida M. K, Pappa A, Maroulis Z. B. Structural properties of extruded corn starch. *J Food Eng.* 2005;68: 519-526.